Einführung in die mathematische Datenanalyse

Jan Heiland

FAU Erlangen-Nürnberg – Sommersemester 2022

Contents

| V | orwo | rt | 5 |
|---|------|---|----|
| 1 | Was | s ist Data Science? | 7 |
| | 1.1 | Wie passiert die Datenanalyse? | 7 |
| | 1.2 | Was sind Daten? | 8 |
| | 1.3 | Beispiele | 8 |
| | 1.4 | Python | 11 |
| | 1.5 | Aufgaben | 11 |
| 2 | Lin | eare Regression | 15 |
| | 2.1 | Rauschen und Fitting | 16 |
| | 2.2 | Ansätze für lineare Regression | 17 |
| | 2.3 | Fehlerfunktional und Minimierung | 18 |
| | 2.4 | Berechnung der Bestlösung | 19 |
| | 2.5 | Beispiel | 20 |
| 3 | Ma | trix-Zerlegungen | 21 |
| | 3.1 | QR Zerlegung | 21 |
| | 3.2 | Singulärwertzerlegung | 22 |
| | 3.3 | Aufgaben | 24 |
| 4 | Haı | ıptkomponentenanalyse | 31 |
| | 4.1 | Variationskoeffizienten | 31 |
| | 4.2 | Koordinatenwechsel | 33 |
| | 43 | Maximierung der Varianz in (Haunt)-Achsenrichtung | 34 |

4 CONTENTS

Vorwort

Das ist ein Aufschrieb.

Korrekturen und Wünsche immer gerne als issues oder pull requests ans githubrepo.

6 CONTENTS

Chapter 1

Was ist Data Science?

Data Science umfasst unter anderem folgende Aufgaben:

- 1. Strukturieren/Aufbereiten (Umgehen mit falschen, korrumpierten, fehlenden, unformatierten Daten)
- 2. Data Exploration (Daten "verstehen")
- 3. Data Analysis (quantitative Analysen, Hypothesen aufstellen)
- 4. Data Visualization (Hypothesen graphisch kommunizieren)
- 5. Modelle erzeugen/validieren (Regeln/Muster erkennen, Vorhersagen treffen) das ist Machine Learning aber es gibt auch viele andere Ansätze.
- 6. Daten Reduktion

1.1 Wie passiert die Datenanalyse?

Mit mathematischen Methoden aus den Bereichen der

- linearen Algebra (z.B. Matrizen, Basen, lineare Gleichungssysteme)
- Statistik (z.B. Mittelwerte, Korrelationen, Verteilungen)
- Analysis (Grenzwerte, Abschätzungen)
- .

Dabei hilft Software, z.B.,

- Excel
- Python
- Matlab
- R

bei der Berechnung, Automatisierung, Visualisierung.

Python ist ein de-facto Standard in Data Science und Machine Learning.

1.2 Was sind Daten?

Wie sehen Daten aus?

- Numerisch reell, z.B. Temperatur
- Numerisch diskret, z.B. Anzahl
- Ordinal: Element einer festen Menge mit expliziter Ordnung, z.B. {neuwertig, mit Gebrauchsspuren, defekt}
- Binär: Eine von zwei Möglichkeiten, z.B. Wahr/Falsch oder aktiv/inaktiv
- Kategoriell: Element einer festen Menge ohne klare Ordnung, z.B. {Säugetier, Vogel, Fisch}
- sonstige strukturierte Daten, z.B. geographische Daten, Graphen
- reiner Text, z.B. Freitext in Restaurantbewertung

Außerdem können wir noch allgemeine Eigenschaften (Qualitätsmerkmale) von Daten unterscheiden

- strukturiert
- lückenhaft
- fehlerbehaftet (verrauscht)
- interpretierbar
- geordnet (oder nicht zu ordnen)

1.3 Beispiele

1.3.1 Tabellendaten – Mietpreise

Hier wären die Aufgaben von Data Science:

- Daten "verstehen", Zusammenhänge zwischen Variablen aufdecken,
- visualisieren.
- Gegebenenfalls fehlende Einträge bei (z.B.) kaltmiete vorhersagen

Datenexploration und -analyse für einzelne Variablen 1/3 Wir betrachten eine numerische Variable in einem rechteckigen Datensatz, also eine Spalte (z.B. kaltmiete). Wir bezeichnen den i-ten Eintrag in dieser Spalte mit x_i , wobei $i=1,\dots,N$ (N Anzahl der Zeilen).

Folgende $Sch \ddot{a}tzer/Metriken$ können dabei helfen, diese Spalte besser zu verstehen:

• Mittelwert
$$\overline{x} = \frac{1}{N} \sum_{i=1}^{N} x_i$$

| | bundesland | stadt | baujahr | etage | hat_kueche | kaltmiete | wohnflaeche | zimmer |
|---|---------------------|---------------------|---------|-------|------------|-----------|-------------|--------|
| 0 | Nordrhein_Westfalen | Duisburg | 1973 | 1 | 0 | 640 | 105 | 3 |
| 1 | Baden_Württemberg | Ulm | 1936 | 1 | 0 | 302 | 43 | 2 |
| 2 | Nordrhein_Westfalen | Wuppertal | 1986 | 3 | 0 | 150 | 67 | 2 |
| 3 | Rheinland_Pfalz | Rhein_Lahn_Kreis | 1970 | 3 | 0 | 315 | 47 | 3 |
| 4 | Sachsen | Chemnitz | 1900 | 2 | 0 | 315 | 63 | 2 |
| 5 | Rheinland_Pfalz | Mainz | 1989 | 1 | 0 | 1200 | 96 | 4 |
| 6 | Bayern | Aschaffenburg_Kreis | 1965 | 2 | 0 | 722 | 85 | 3 |
| 7 | Berlin | Berlin | 1952 | 0 | 1 | 706 | 63 | 2 |
| 8 | Sachsen | Mittelsachsen_Kreis | 1996 | 3 | 1 | 220 | 29 | 1 |
| 9 | Brandenburg | Potsdam | 1985 | 2 | 1 | 400 | 34 | 1 |

Figure 1.1: Abbildung: Tabelle von Wohnungsangeboten

| | bundesland | stadt | baujahr | etage | hat_kueche | kaltmiete | vohnflaeche | zimmer |
|---|---------------------|---------------------|---------|-------|------------|-----------|-------------|--------|
| 0 | Nordrhein_Westfalen | Duisburg | 1973 | 1 | 0 | 640 | 105 | 3 |
| 1 | Baden_Württemberg | Ulm | 1936 | 1 | 0 | 302 | 43 | 2 |
| 2 | Nordrhein_Westfalen | Wuppertal | 1986 | 3 | 0 | 150 | 67 | 2 |
| 3 | Rheinland_Pfalz | Rhein_Lahn_Kreis | 1970 | 3 | 0 | 315 | 47 | 3 |
| 4 | Sachsen | Chemnitz | 1900 | 2 | 0 | 315 | 63 | 2 |
| 5 | Rheinland_Pfalz | Mainz | 1989 | 1 | 0 | 1200 | 96 | 4 |
| 6 | Bayern | Aschaffenburg_Kreis | 1965 | 2 | 0 | 722 | 85 | 3 |
| 7 | Berlin | Berlin | 1952 | 0 | 1 | 706 | 63 | 2 |
| 8 | Sachsen | Mittelsachsen_Kreis | 1996 | 3 | 1 | 220 | 29 | 1 |
| 9 | Brandenburg | Potsdam | 1985 | 2 | 1 | 400 | 34 | 1 |

Figure 1.2: Abbildung: Eine Spalte der Tabelle

- gewichteter Mittelwert $\overline{x}_w = \frac{\sum_{i=1}^N w_i x_i}{\sum_{j=1}^N w_j}$, wobei w_i das Gewicht des i-ten Eintrages ist (z.B. eine andere Variable).
- Varianz: $s_x^2 = \frac{1}{N-1} \sum_{i=1}^N (x_i \overline{x})^2$
- Standardabweichung $s = \sqrt{s_x^2}$.
- Median = $\frac{315+400}{2}$ = 357.5.

Datenexploration und -analyse für mehrere Variablen Wir betrachten zwei Spalten $x=(x_1,\dots,x_N)$ und $y=(y_1,\dots,y_N)$.

Das Verteilung von zwei Variablen läßt sich im sogenannte **Scatter Plot** visualisieren.



Datenexploration und -analyse für mehrere Variablen Wir betrachten zwei Spalten $x=(x_1,\dots,x_N)$ und $y=(y_1,\dots,y_N)$.

- Kovarianz $s_{xy} = \frac{1}{N-1} \sum_{i=1}^N (x_i \overline{x}) (y_i \overline{y})$
- Korrelation $\rho_{xy} = \frac{s_{xy}}{s_x \cdot s_y} \in [-1, 1].$
- $\rho \approx 1$: Starke positive Korrelation, wenn x groß ist, ist y auch groß.
- $\rho \approx -1$: Starke negative Korrelation, wenn x groß ist, ist y klein
- $\rho \approx 0$: Wenig/keine Korrelation.

1.3.2 COVID-19 Daten

Vergleiche die Einführung in Mathematik für Data Science 1 vom letzten Semester.

1.4. PYTHON 11



Figure 1.3: Von Kiatdd - Eigenes Werk, CC BY-SA 3.0, https://commons.wikimedia.org/w/index.php?curid=37108966

1.3.3 Netflix Prize

Hierbei geht es darum, ob aus bekannten Bewertungen von vielen verschiedenen Benutzern für viele verschiedene Filme abgeleitet werden kann, ob ein bestimmter Nutzer einen bestimmten Film mag (also positiv bewerten würde).

Vergleiche auch Wikipedia:Netflix_Prize

Das (Trainings-)Daten bestehen über 480189 Benutzer, die für 17770 Filme insgesamt 100480507 Bewertungen als ganze Zahlen zwischen 1 und 5 verteilten.

Ziel der Datenanalyse war es, für 2817131 "Paare" von Benutzern und Filmen, die Bewertung vorauszusagen. Neben der schieren Masse an Daten kamen noch Einschränkungen hinzu, die ein Mindestmaß an Qualität der Vorhersage sicherstellen sollten.

Das Problem ließe sich wie folgt darstellen.

| Benutzer \ Film | F1 | F2 | Fn | • • • • |
|-----------------|----|----|--------|---------|
| B1 | _ | 3 | 5 | |
| B2 | 3 | 4 | 2 | |
| В3 | 1 | 2 | ? | |
| | 3 | 4 | _ | |

Gegeben viele (aber bei weitem nicht alle) Einträge in einer riesigen Tabelle. Können wir aus den Zusammenhängen bestimmte fehlende Einträge (z.B. wie findet Nutzer B3 den Film Fn) herleiten?

Die besten Lösungen für dieses Problem basieren durchweg auf $Machine\ Learning\ Ansätzen.$

1.4 Python

Die Programmiersprache python wird uns durchs Semester begleiten. Einfach weil sie so wichtig ist für *Data Science* aber auch weil sie (meiner Meinung nach) einfach zu erlernen und zu benutzen ist.

1.5 Aufgaben

1.5.1 Python

Bringen sie ihr python zum Laufen, installieren sie numpy, scipy und

```
N = 20
xmax = 2
xmin = 0

xdata = np.linspace(xmin, xmax, N)
ydata = np.exp(xdata)

plt.figure(1)
plt.plot(xdata, ydata, '.')

plt.figure(2)
plt.semilogy(xdata, ydata, '.')
plt.show()
```

1.5.2 Einheitsmatrix

Schreiben sie ein script, dass die 5x5 Einheitsmatrix auf 3 verschiedene Arten erzeugt. (Eine Art könnte die eingebaute numpy Funktion eye sein).

```
import numpy as np
idfive = np.eye(5)
print(idfive)
```

Hinweis: schauen sie sich mal an wie numpy's arrays funktionieren.

1.5.3 Matrizen Multiplikation und Potenz

Schreiben sie ein script, das die Übungsaufgabe aus der Vorlesung (potenzieren der Matrizen $M_i,\,i=1,2,3,4$) löst. Zum Beispiel mit

```
import numpy as np
mone = np.array([[0.9, 0.9], [0.9, 0.9]])

mone_ptwo = mone @ mone
print(mone_ptwo)

mone_pfour = mone_ptwo @ mone_ptwo
print(mone_pfour)
```

Oder so:

```
import numpy as np
mone = np.array([[0.9, 0.9], [0.9, 0.9]])
mone_p = np.eye(2)

for k in range(16):
```

1.5. AUFGABEN 13

```
mone_p = mone_p @ mone
if k == 1 or k == 3 or k == 15:
    print('k=', k+1)
    print(mone_p)
```

Achtung:

- bei Matrizen kann auch * benutzt werden das ist aber nicht die richtige Matrizenmultiplikation (sondern die Multiplikation eintragsweise)
- Moegliche Realisierung der Matrizenmultiplikation
 - np.dot(A, B) die klassische Methode
 - A.dot(B) das selbe (manchmal besser, wenn A etwas allgemeiner ist (zum Beispiel eine scipy.sparse matrix)
 - A @ B − convenience Notation

Chapter 2

Lineare Regression

Auch bekannt als

- lineare Ausgleichsrechnung oder
- Methode der kleinsten Quadrate.

Ein wesentlicher Aspekt von *Data Science* ist die Analyse oder das Verstehen von Daten. Allgemein gesagt, es wird versucht, aus den Daten heraus Aussagen über Trends oder Eigenschaften des Phänomens zu treffen, mit welchem die Daten im Zusammenhang stehen.

Wir kommen nochmal auf das Beispiel aus der Einführungswoche zurück, werfen eine bereits geschärften Blick darauf und gehen das mit verbesserten mathematischen Methoden an.

Gegeben seien die Fallzahlen aus der CoVID Pandemie 2020 für Bayern für den Oktober 2020.

Table 2.1: Anzahl der SARS-CoV-2 Neuinfektionen in Bayern im Oktober 2020.

| Tag | 1 | 2 | 3 | 4 | 5 | 6 | 7 | 8 | 9 | 10 | 11 |
|-------|-----|-----|------|------|-----|-------|------|------|------|-----|------|
| Fälle | | 347 | | 151 | | | | | | | |
| | | | | | | | | | | | |
| Tag | 12 | 13 | 14 | 15 | 16 | 17 | 18 | 19 | 2 | 20 | 21 |
| Fälle | 681 | 691 | 1154 | 1284 | 127 | 7 984 | 4 57 | 3 10 | 78 1 | 462 | 2239 |

| Tag | 22 | 23 | 24 | 25 | 26 | 27 | 28 | 29 | 30 | 31 |
|-------|------|------|------|------|------|------|------|------|------|------|
| Fälle | 2236 | 2119 | 1663 | 1413 | 2283 | 2717 | 3113 | 2972 | 3136 | 2615 |



Figure 2.1: Fallzahlen von Sars-CoV-2 in Bayern im Oktober 2020

Wieder stellen wir uns die Frage ob wir in den Daten einen funktionalen Zusammenhang feststellen können. Also ob wir die Datenpaare

(Tag x, Infektionen am Tag x) die wir als $(x_i,\,y_i)$ über eine Funktion f und die Paare $(x,\,f(x))$

beschreiben (im Sinne von gut darstellen oder approximieren) können.

2.1 Rauschen und Fitting

Beim obigen Beispiel (und ganz generell bei Daten) ist davon auszugehen, dass die Daten **verrauscht** sind, also einem Trend folgen oder in einem funktionalen Zusammenhang stehen aber zufällige Abweichungen oder Fehler enthalten.

Unter diesem Gesichtspunkt ist eine Funktion, die

$$f(x_i) = y_i$$

erzwingt nicht zielführend. (Wir wollen Trends und größere Zusammenhänge erkennen und nicht kleine Fehler nachzeichnen.) Das zu strenge Anpassen an möglicherweise verrauschte Daten wird **overfitting** genannt.

Vielmehr werden wir nach einer Funktion f suchen, die die Daten näherungsweise nachstellt:

$$f(x_i) \approx y_i$$

Hierbei passen jetzt allerdings auch Funktionen, die vielleicht einfach zu handhaben sind aber die Daten kaum noch repräsentieren. Jan spricht von **underfitting**.

Eine gute Approximation besteht im Kompromiss von nah an den Daten aber mit wenig overfitting.

2.2 Ansätze für lineare Regression

Um eine solche Funktion f zu finden, trifft Jan als erstes ein paar Modellannahmen. Modellannahmen legen fest, wie das f im Allgemeinen aussehen soll und versuchen dabei

- 1. die Bestimmung von f zu ermöglichen
- 2. zu garantieren, dass f auch die gewollten Aussagen liefert
- 3. und sicherzustellen, dass f zum Problem passt.

Jan bemerke, dass die ersten beiden Annahmen im Spannungsverhältnis zur dritten stehen.

Lineare Regression besteht darin, dass die Funktion als Linearkombination

$$f_w(x) = \sum_{j=1}^n w_j b_j(x)$$

von Basisfunktionen geschrieben wird und dann die Koeffizienten w_i so bestimmt werden, dass f die Daten bestmöglich annähert.

Jan bemerke, dass bestmöglich wieder overfitting bedeuten kann aber auch, bei schlechter Wahl der Basis, wenig aussagekräftig sein kann. Der gute Kompromiss liegt also jetzt in der Wahl der passenden Basisfunktionen und deren Anzahl. (Mehr Basisfunktionen bedeutet möglicherweise bessere Approximation aber auch die Gefahr von overfitting.)

Typische Wahlen für die Basis $\{b_1, b_2, \dots, b_n\}$ sind

• Polynome: $\{1, x, x^2, \dots, x^{n-1}\}$ – für n=2 ist der Ansatz eine Gerade

- Trigonometrische Funktionen: $\{1, \cos(x), \sin(x), \cos(2x), \sin(2x), \dots\}$
- Splines Polynome, die abschnittsweise definiert werden
- Wavelets Verallgemeinerungen von trigonometrischen Funktionen

2.3 Fehlerfunktional und Minimierung

Wir setzen nun also an

$$f_w(x) = \sum_{j=1}^n w_j b_j(x)$$

und wollen damit $y_i \approx f_w(x_i)$ bestmöglich erreichen (indem wir die Koeffizienten (w_1,\ldots,w_n) optimal wählen. Bestmöglich und optimal spezifizieren wir über den Mittelwert der quadratischen Abweichungen in der Approximation über alle Datenpunkte

$$\frac{1}{N}\sum_{i=1}^N(y_i-f_w(x_i))^2$$

Ein paar Bemerkungen

- \bullet jetzt müssen wir die w_i 's bestimmen so dass dieser Fehlerterm minimal wird
- ullet das optimale w ist unabhängig von einer Skalierung des Fehlerterms
- des wegen schreiben wir gerne einfach $\frac{1}{2}\sum_{i=1}^N(y_i-f_w(x_i))^2$ als das Zielfunktional, das es zu minimieren gilt.

Wie finden wir jetzt die w_i 's? Zunächst gilt, dass

$$f_w(x_i) = \sum_{i=j}^n w_j b_j(x_i) = \begin{bmatrix} b_1(x_i) & b_2(x_i) & \dots & b_n(x_i) \end{bmatrix} \begin{bmatrix} w_1 \\ w_2 \\ \vdots \\ w_n \end{bmatrix}$$

und wenn wir alle $f_w(x_i), i=1,\ldots,N$ übereinander in einen Vektor schreiben, dass

$$f_w(\mathbf{x}) := \begin{bmatrix} f_w(x_1) \\ \vdots \\ f_w(x_N) \end{bmatrix} = \begin{bmatrix} b_1(x_1) & \dots & b_n(x_1) \\ \vdots & \ddots & \vdots \\ b_1(x_N) & \dots & b_n(x_N) \end{bmatrix} \begin{bmatrix} w_1 \\ \vdots \\ w_n \end{bmatrix} =: \Phi(\mathbf{x}) w$$

Damit, mit ${\bf y}$ als den Vektor aller y_i 's, und mit der Definition der Vektornorm, können wir unser Minimierungsproblem schreiben als

$$\frac{1}{2}\sum_{i=1}^N(y_i-f_w(x_i))^2=\frac{1}{2}\|\mathbf{y}-\Phi(\mathbf{x})w\|^2\to\min.$$

Wir bemerken, dass

- das Fehlerfunktional immer größer und bestenfalls gleich 0 ist
- falls das lineare Gleichungssystem $\Phi(\mathbf{x})w = \mathbf{y}$ eine Lösung w hat, ist das auch eine Lösung unserer Minimierung
- im typischen Falle aber ist allerdings $N\gg n$ und das System überbestimmt (n=N würde ein overfitting bedeuten...) sodass wir keine Lösung des linearen Gleichungssystems erwarten können.
- Das Minimierungsproblems selbst hat allerdings immer eine Lösung.

2.4 Berechnung der Bestlösung

Wir suchen also ein Minimum der Funktion (mit Φ , \mathbf{x} , \mathbf{y} gegeben)

$$\begin{split} w \mapsto \frac{1}{2} \|\mathbf{y} - \Phi(\mathbf{x})w\|^2 &= \frac{1}{2} (\mathbf{y} - \Phi(\mathbf{x})w)^T (\mathbf{y} - \Phi(\mathbf{x})w) \\ &= \frac{1}{2} [\mathbf{y}^T \mathbf{y} - \mathbf{y}^T \Phi(\mathbf{x})w - w^T \Phi(\mathbf{x})^T \mathbf{y} + w^T \Phi(\mathbf{x})^T \Phi(\mathbf{x})w] \\ &= \frac{1}{2} [\mathbf{y}^T \mathbf{y} - 2w^T \Phi(\mathbf{x})^T \mathbf{y} + w^T \Phi(\mathbf{x})^T \Phi(\mathbf{x})w] \end{split}$$

wobei wir die Definition der Norm $||v||^2 = v^T v$ und die Eigenschaft, dass für die skalare Größe $w^T \Phi(\mathbf{x})^T \mathbf{y} = [w^T \Phi(\mathbf{x})^T \mathbf{y}]^T = \mathbf{y}^T \Phi(\mathbf{x}) w$ gilt, ausgenutzt haben.

Wären w und y keine Vektoren sondern einfach reelle Zahlen, wäre das hier eine Parabelgleichung $aw^2 + bw + c$ mit a > 0, die immer eine Minimalstelle hat.

Tatsächlich gilt hier alles ganz analog. Insbesondere ist $\Phi(\mathbf{x})^T \Phi(\mathbf{x})$ in der Regel "größer 0" (was heißt das wohl bei quadratischen Matrizen?). Und mittels "Nullsetzen" der ersten Ableitung können wir das Minimum bestimmen. In diesem Fall ist die erste Ableitung (nach w)

$$\nabla_w(\frac{1}{2}\|\mathbf{y} - \Phi(\mathbf{x})\|^2) = \Phi(\mathbf{x})^T\Phi(\mathbf{x})w - \Phi(\mathbf{x})^T\mathbf{y},$$

(den $Gradienten \nabla_w$ als Ableitung von Funktionen mit mehreren Veränderlichen werden wir noch genauer behandeln) was uns als Lösung, die Lösung des linearen Gleichungssystems

$$\Phi(\mathbf{x})^T\Phi(\mathbf{x})w=\Phi(\mathbf{x})^T\mathbf{y}$$

definiert.

Letzte Frage: Wann hat dieses Gleichungssystems eine eindeutige Lösung? Mit N > n (also $\Phi(\mathbf{x})$ hat mehr Zeilen als Spalten) gelten die Äquivalenzen:

- $\Phi(\mathbf{x})^T \Phi(\mathbf{x}) w = \Phi(\mathbf{x})^T \mathbf{y}$ hat eine eindeutige Lösung
- die Matrix $\Phi(\mathbf{x})^T \Phi(\mathbf{x})$ ist regulär
- die Spalten von $\Phi(\mathbf{x})$ sind linear unabhängig
- die Vektoren $b_i(\mathbf{x})$ sind linear unabhängig.

Praktischerweise tritt genau diese Situation im Allgemeinen ein.

- N > n (mehr Datenpunkte als Parameter)
- b_i 's werden als *linear unabhängig* (im Sinne ihres Funktionenraums) gewählt, was die lineare unabhängigket der $b_i(\mathbf{x})$ impliziert.

2.5 Beispiel

Unsere Covid-Zahlen "mit einer Geraden angenähert":

- $f_w(x) = w_1 + w_2 x$ das heißt n=2 und Basisfunktionen $b_1(x) \equiv 1$ und $b_2(x) = x$
- $y = (352, 347, \dots, 2615)$ die Fallzahlen

Wir bekommen

$$\Phi(\mathbf{x}) = \begin{bmatrix} 1 & 1\\ 1 & 2\\ 1 & 3\\ \vdots & \vdots\\ 1 & 31 \end{bmatrix}$$

(die Spalten sind linear unabhängig) und müssen "nur" das 2x2 System

$$\begin{bmatrix} 1 & 1 & 1 & \dots & 1 \\ 1 & 2 & 3 & \dots & 31 \end{bmatrix} \begin{bmatrix} 1 & 1 \\ 1 & 2 \\ 1 & 3 \\ \vdots \\ 1 & 31 \end{bmatrix} \begin{bmatrix} w_1 \\ w_2 \end{bmatrix} = \begin{bmatrix} 1 & 1 & 1 & \dots & 1 \\ 1 & 2 & 3 & \dots & 31 \end{bmatrix} \begin{bmatrix} 352 \\ 347 \\ 308 \\ \vdots \\ 2615 \end{bmatrix}$$

lösen um die Approximation f_w zu bestimmen.

Und noch als letzte Bemerkung. Egal wie die Basisfunktionen b_i gewählt werden, die Parameterabhängigkeit von w ist immer linear. Deswegen der Name **lineare** Ausgleichsrechnung.

Chapter 3

Matrix-Zerlegungen

Die Lösung w des Problems der linearen Ausgleichsrechnung war entweder als Lösung eines Optimierungsproblems

$$\min_{w} \|Aw - y\|^2$$

oder als Lösung des linearen Gleichungssystems

$$A^T A w = y$$

gegeben. Hierbei steht nun $A \in \mathbb{R}^{N \times n}$ für die Matrix $\Phi(\mathbf{x})$ der Daten und Basisfunktionen. Wir hatten uns überlegt, dass in den meisten Fällen

- die Matrix mehr Zeilen als Spalten hat (N > n) und
- die Spalten linear unabhängig sind.

3.1 QR Zerlegung

Wir betrachten nochmal das Optimierungsproblem $\min_{w} \|Aw - y\|^2$. Gäbe es eine Lösung des Systems Aw = y, wäre das sofort eine Lösung des Optimierungsproblems. Da A aber mehr Zeilen als Spalten hat, ist das System Aw = y überbestimmt und eine Lösung in der Regel nicht gegeben.

Die Überlegung ist nun, die Gleichung Aw = y so gut wie möglich zu erfüllen, indem wir die relevanten Gleichungen indentifizieren und wenigstens diese lösen. Ein systematischer (und wie wir später sehen werden auch zum Optimierungsproblem passender) Zugang bietet die QR Zerlegung.

Theorem 3.1 (QR Zerlegung). Sei $A \in \mathbb{R}^{m \times n}$, m > n. Dann existiert eine orthonormale Matrix $Q \in \mathbb{R}^{m \times m}$ und eine obere Dreiecksmatrix $\hat{R} \in \mathbb{R}^{n \times n}$ derart dass

$$A = QR =: Q \begin{bmatrix} \hat{R} \\ 0 \end{bmatrix}.$$

Hat A vollen (Spalten)Rang, dann ist \hat{R} invertierbar.

Hier heißt $orthonormale\ Matrix\ Q,$ dass die Spalten von Q paarweise orthogonal sind. Insbesondere gilt

$$Q^TQ = I.$$

Für unser zu lösendes Problem ergibt sich dadurch die Umformung

$$Aw = y \Leftrightarrow QRw = y \Leftrightarrow Q^TQRw = Q^Ty \Leftrightarrow Rw = Q^Ty$$

oder auch

$$\begin{bmatrix} \hat{R} \\ 0 \end{bmatrix} w = Q^T y = \begin{bmatrix} Q_1^T \\ Q_2^T \end{bmatrix} y$$

(wobei wir die $Q_1 \in \mathbb{R}^{m \times n}$ die Matrix der ersten n Spalten von Q ist) und als Kompromiss der Vorschlag, das Teilsystem

$$\hat{R}w = Q_1^T y$$

nach w zu lösen und in Kauf zu nehmen, dass der Rest, nämlich das $Q_2^T y$, nicht notwendigerweise gleich null ist.

Wir halten zunächst mal fest, dass

- Obwohl Q eine reguläre Matrix ist, bedarf der Übergang von Aw=y zu $Q^TAw=Q^Ty$ einer genaueren Analyse.
- Wir bemerken, dass für eine hypothetische komplette Lösung Aw-y, diese Transformation keine Rolle spielt.
- Für die Kompromisslösung jedoch schon, weil beispielsweise verschiedene Konstruktionen eines invertierbaren Teils, verschiedene Residuen bedeuten und somit Optimalität im Sinne von $\min_{w} \|Aw y\|^2$ nicht garantiert ist.

Allerdings, wie Sie als Übungsaufgabe nachweisen werden, löst dieser Ansatz tatsächlich das Optimierungsproblem.

3.2 Singulärwertzerlegung

Eine weitere Matrix Zerlegung, die eng mit der Lösung von Optimierungsproblemen oder überbestimmten Gleichungssystemen zusammenhängt ist die Singulärwertzerlegung (SVD – von english: $Singular\ Value\ Decomposition$).

Theorem 3.2 (Singulärwertzerlegung). Sei $A \in \mathbb{C}^{m \times n}$, $m \geq n$. Dann existieren orthogonale Matrizen $U \in \mathbb{C}^{m \times m}$ und $V \in \mathbb{C}^{n \times n}$ und eine Matrix

23

 $\Sigma \in \mathbb{R}^{m \times n} \ der \ Form$

$$\Sigma = \begin{bmatrix} \sigma_1 & 0 & \dots & 0 \\ 0 & \sigma_2 & \ddots & \vdots \\ 0 & \ddots & \ddots & 0 \\ 0 & \dots & 0 & \sigma_n \\ 0 & 0 & \dots & 0 \\ \vdots & \ddots & & \vdots \\ 0 & 0 & \dots & 0 \end{bmatrix}$$

mit reellen sogenannten Singulärwerten

$$\sigma_1 \ge \sigma_2 \ge \cdots \ge \sigma_n \ge 0$$

sodass qilt

$$A = U\Sigma V^*$$

wobei qilt $V^* = \overline{V^T}$ (transponiert und komplex konjuqiert).

Ein paar Bemerkungen.

- \bullet Ist A reell, können auch U und V reell gewählt werden.
- Die Annahme $m \geq n$ war nur nötig um für die Matrix Σ keine Fallunterscheidung zu machen. (Für $m \leq n$ "steht der Nullblock rechts von den Singulärwerten"). Insbesondere gilt $A^* = V\Sigma U^*$ ist eine SVD von A^* .
- Eine Illustration der Zerlegung ist in Abbildung 3.1 zu sehen.

Wir machen einige Überlegungen im Hinblick auf große Matrizen. Sei dazu $m>n,\ A\in\mathbb{C}^{m\times n}$ und $A=U\Sigma V^*$ eine SVD wie in Theorem @ref{thm:SVD}. Sei nun

$$U = \begin{bmatrix} U_1 & U_2 \end{bmatrix}$$

partitioniert sodass U_1 die ersten n Spalten von U enthält.

Dann gilt (nach der Matrix-Multiplikations Regel Zeile mal Spalte die Teile U_2 und V_2 immer mit dem Nullblock in Σ multipliziert werden) dass

$$A = U \Sigma V = \begin{bmatrix} U_1 & U_2 \end{bmatrix} \begin{bmatrix} \hat{\Sigma} \\ 0 \end{bmatrix} V^* = U_1 \hat{\Sigma} V^*$$

Es genügt also nur die ersten m Spalten von U zu berechnen. Das ist die sogenannte slim $\mathbf{SVD}.$

Hat, darüberhinaus, die Matrix A keinen vollen Rang, also $\operatorname{Rg}(A) = r < n$, dann:

- ist $\sigma_i = 0$, für alle $i = r+1, \ldots, n$, (wir erinnern uns, dass die Singulärwerte nach Größe sortiert sind)
- die Matrix $\hat{\Sigma}$ hat n-r Nullzeilen
- für die Zerlegung sind nur die ersten r Spalten von U und V relevant die sogenannte **Kompakte SVD**.

In der Datenapproximation ist außerdem die **truncated SVD** von Interesse. Dazu sei $\hat{r} < r$ ein beliebig gewählter Index. Dann werden alle Singulärwerte, $\sigma_i = 0$, für alle $i = \hat{r} + 1, \dots, n$, abgeschnitten – das heißt null gesetzt und die entsprechende kompakte SVD berechnet.

Hier gilt nun nicht mehr die Gleichheit in der Zerlegung. Vielmehr gilt

$$A \approx A_{\hat{r}}$$

wobei $A_{\hat{r}}$ aus der truncated SVD von A erzeugt wurde. Allerdings ist diese Approximation von A durch optimal in dem Sinne, dass es keine Matrix vom Rang $\hat{r} \geq r = \text{Rg}(A)$ gibt, die A (in der induzierten euklidischen Norm¹) besser approximiert. Es gilt

$$\min_{B\in\mathbb{C}^{m\times n},\mathrm{Rg}(B)=\hat{r}}\|A-B\|_2=\|A-A_{\hat{r}}\|_2=\sigma_{\hat{r}+1};$$

vgl. Bollhoefer/Mehrmann Satz 14.15.

Zum Abschluss noch der Zusammenhang zum Optimierungsproblem. Ist $A=U\Sigma V^*$ "SV-zerlegt", dann gilt

$$A^*Aw = V\Sigma^*U^*U\Sigma V^*w = V\hat{\Sigma}^2V^*$$

und damit

$$A^*Aw = A^*y \quad \Leftrightarrow \quad V\hat{\Sigma}^2V^* = V\Sigma^*U^*y \quad \Leftrightarrow \quad w = V(\Sigma^+)^*U^*y$$

wobei

$$\Sigma^+ = \begin{bmatrix} \hat{\Sigma}^{-1} \\ 0_{m-n \times n} \end{bmatrix}$$

aus $\Sigma \hat{\Sigma}^{-1} \hat{\Sigma}^{-1}$ herrührt.

Bemerkung: Σ^+ kann auch definiert werden, wenn $\hat{\Sigma}$ nicht invertierbar ist (weil manche Diagonaleinträge null sind). Dann wird $\hat{\Sigma}^+$ betrachtet, bei welcher nur die $\sigma_i > 0$ invertiert werden und die anderen $\sigma_i = 0$ belassen werden. Das definiert eine sogenannte verallgemeinerte Inverse und löst auch das Optimierungsproblem falls A keinen vollen Rang hat.

3.3 Aufgaben

Erklärung: (T) heißt theoretische Aufgabe, (P) heißt programmieren.

3.3.1 Norm und Orthogonale Transformation (T)

Sei $Q \in \mathbb{R}^{n \times n}$ eine orthogonale Matrix und sei $y \in \mathbb{R}^n.$ Zeigen Sie, dass

$$||y||^2 = ||Qy||^2$$

gilt. (2 Punkte)

¹Auf Matrixnormen kommen wir noch in der Vorlesung zu sprechen.

3.3. AUFGABEN 25



Figure 3.1: Illustration der SVD. Bitte beachten der * bedeutet hier transponiert und komplex konjugiert. By Cmglee - Own work, CC BY-SA 4.0, https://commons.wikimedia.org/w/index.php?curid=67853297

3.3.2 Kleinste Quadrate und Mittelwert

Zeigen sie, dass der $\mathit{kleinste}$ Quadrate Ansatz zur Approximation einer Datenwolke

$$(x_i, y_i), \quad i = 1, 2, \dots, N,$$

mittels einer konstanten Funktion $f(x)=w_1$ auf w_1 auf den Mittelwert der y_i führt. (6 Punkte)

3.3.3 QR Zerlegung und Kleinstes Quadrate Problem (T)

Sei $A \in \mathbb{R}^{m,n}, \, m > n, \, A$ hat vollen Rank und sei

$$\begin{bmatrix} Q_1 & Q_2 \end{bmatrix} \begin{bmatrix} \hat{R} \\ 0 \end{bmatrix} = A$$

eine QR-Zerlegung von A. Zeigen sie, dass die Lösung von

$$\hat{R}w = Q_1^T y$$

ein kritischer Punkt (d.h. der Gradient ∇_w verschwindet) von

$$w \mapsto \frac{1}{2} \|Aw - y\|^2$$

ist. **Hinweis**: Die Formel für den Gradienten wurde in der Vorlesung 02 hergeleitet. (6 Punkte)

3.3.4 Eigenwerte Symmetrischer Matrizen (T)

Zeigen Sie, dass Eigenwerte symmetrischer reeller Matrizen $A \in \mathbb{R}^{n \times n}$ immer reell sind. (3 Punkte)

3.3.5 Singulärwertzerlegung und Eigenwerte (T)

Zeigen Sie, dass die quadrierten Singulärwerte einer Matrix $A \in \mathbb{R}^{m \times n}$, m > n, genau die Eigenwerte der Matrix $A^T A$ sind und in welcher Beziehung sie mit den Eigenwerten von AA^T stehen. **Hinweis**: hier ist "m > n" wichtig. (6 Punkte)

3.3.6 Python – Laden und Speichern von Arrays

Speichern sie die Covid-Daten aus obiger Tabelle zur späteren Verwendung als ein numpy.array. Beispielsweise so:

```
import numpy as np
import matplotlib.pyplot as plt
days = [1, 2, 3, 4, 5, 6, 7, 8, 9, 10, 11,
        12, 13, 14, 15, 16, 17, 18, 19,
                                          20,
                                                21,
        22, 23, 24,
                       25,
                               26, 27, 28,
                                              29,
                                                              31]
                                                      30,
case = [352, 347, 308, 151, 360, 498, 664, 686, 740, 418, 320,
        681, 691, 1154, 1284, 127, 984, 573, 1078,
                                                              2239.
        2236, 2119, 1663,
                              1413,
                                       2283,
        2717, 3113,
                       2972,
                                3136,
                                         2615]
data = np.vstack([days, case])
print('Shape of data: ', data.shape)
datafilestr = 'coviddata.npy'
np.save(datafilestr, data)
lddata = np.load(datafilestr)
plt.figure(1)
plt.plot(lddata[0, :], lddata[1, :], 's', label='Cases/Day')
plt.title('Covid Faelle in Bayern im Oktober 2020')
plt.legend()
plt.show()
```

3.3.7 Lineare Regression für Covid Daten (P)

Führen sie auf den Covid-daten eine lineare Regression zum Fitten

• einer konstanten Funktion f(x) = c

3.3. AUFGABEN 27

- einer linearen Funktion f(x) = ax + b
- einer quadratischen Funktion $f(x) = w_1 + w_2 x + w_3 x^2$

durch. Berechnen Sie die mittlere quadratische Abweichung $\frac{1}{N}\sum_{i=1}^{N}\|y_i-f(x_i)\|^2$ für alle drei Approximationen und plotten Sie die Covid-Daten zusammen mit der aus der Regression erhaltenen Funktion. Beispielsweise so:

```
import numpy as np
import matplotlib.pyplot as plt
datafilestr = 'coviddata.npy'
cvdata = np.load(datafilestr)
# ## Definieren der Basis Funktion(en)
def b_zero(x):
    ''' eine konstante Funktion '''
   return 1.
ybf = cvdata[1, :] # die y-werte
xbf = cvdata[0, :] # die x-werte
N = xbf.size # Anzahl Datenpunkte
ybf = ybf.reshape((N, 1)) # reshape als Spaltenvektor
bzx = [b_zero(x) for x in xbf] # eine Liste mit Funktionswerten
bzx = np.array(bzx).reshape((N, 1)) # ein Spalten Vektor
Phix = bzx # hier nur eine Spalte
# Das LGS AtA w = At y
rhs = Phix.T @ ybf
AtA = Phix.T @ Phix
# ACHTUNG: das hier geht nur weil AtA keine Matrix ist in diesem Fall
w = 1./AtA * rhs
# ACHTUNG: das hier ging nur weil AtA keine Matrix ist in diesem Fall
def get_regfunc(weights, basfunlist=[]):
    ''' Eine Funktion, die eine Funktion erzeugt
   Eingang: die Gewichte, eine Liste von Basisfunktionen
   Ausgang: die entsprechende Funktion f = w_1b_1 + ...
```

```
def regfunc(x):
    fval = 0
    for kkk, basfun in enumerate(basfunlist):
        fval = fval + weights[kkk]*basfun(x)
    return fval

return regfunc

const_regfunc = get_regfunc([w], [b_zero])

const_approx = [const_regfunc(x) for x in xbf]
    const_approx = np.array(const_approx).reshape((N, 1))

plt.figure(1)
plt.plot(cvdata[0, :], cvdata[1, :], 's', label='Cases/Day')
plt.plot(cvdata[0, :], const_approx, '-', label='constant fit')
plt.legend()
plt.show()
```

Hinweise:

- liste = [f(x) for x in iterable] ist sehr bequem um Vektoren von Funktionswerten zu erzeugen aber nicht sehr pythonesque (und auch im Zweifel nicht effizient). Besser ist es Funktionen zu schreiben, die vektorisiert sind. Zum Beispiel können die meisten built-in Funktionen wie np.exp ein array als Eingang direkt in ein array der Funktionswerte umsetzen.
- Eine Funktion, die eine Funktion erzeugt finde ich sehr hilfreich für viele Anwendungen (ist aber manchmal nicht so gut nachvollziehbar).

3.3.8 Truncated SVD (P+T)

- 1. (P) Berechnen und plotten sie die Singulärwerte einer 4000×1000 Matrix mit zufälligen Einträgen und die einer Matrix mit "echten" Daten (hier Simulationsdaten einer Stroemungssimulation)². Berechnen sie den Fehler der truncated $SVD \|A A_{\hat{r}}\|$ für $\hat{r} = 10, 20, 40$ für beide Matrizen.
- 2. **(T)** Was lässt sich bezüglich einer Kompression der Daten mittels SVD für die beiden Matrizen sagen. (Vergleichen sie die plots der Singulärwerte und beziehen sie sich auf die gegebene Formel für die Differenz).
- 3. (P+T) Für die "echten" Daten: Speichern sie die Faktoren der bei $\hat{r}=40$ abgeschnittenen SVD und vergleichen Sie den Speicherbedarf der Faktoren und der eigentlichen Matrix.

²Download bitte hier – Achtung das sind 370MB

3.3. AUFGABEN 29

Beispielcode:

```
import numpy as np
import scipy.linalg as spla
import matplotlib.pyplot as plt
randmat = np.random.randn(4000, 1000)
rndU, rndS, rndV = spla.svd(randmat)
print('U-dims: ', rndU.shape)
print('V-dims: ', rndV.shape)
print('S-dims: ', rndS.shape)
plt.figure(1)
plt.semilogy(rndS, '.', label='Singulaerwerte (random Matrix)')
realdatamat = np.load('velfielddata.npy')
# # Das hier ist eine aufwaendige Operation
rlU, rlS, rlV = spla.svd(realdatamat, full_matrices=False)
# # auf keinen Fall `full_matrices=False` vergessen
print('U-dims: ', rlU.shape)
print('V-dims: ', rlV.shape)
print('S-dims: ', rlS.shape)
plt.figure(1)
plt.semilogy(rlS, '.', label='Singulaerwerte (Daten Matrix)')
plt.legend()
plt.show()
```

Hinweise:

- Es gibt viele verschiedene Normen für Vektoren und Matrizen. Sie dürfen einfach mit np.linalg.norm arbeiten. Gerne aber mal in die Dokumentation schauen welche Norm berechnet wird.
- Die (T) Abschnitte hier bitte mit den anderen (T) Aufgaben oder als Bildschirmausgabe im Programm.

Chapter 4

Hauptkomponentenanalyse

Während in den vorherigen Kapiteln der Versuch war, einen funktionalen Zusammenhang in Daten zu bekommen, geht es jetzt darum, statistische Eigenschaften aus Daten zu extrahieren. Wir werden sehen, dass das auch nur ein anderer Blickwinkel auf das gleiche Problem Wie können wir die Daten verstehen? ist und auch die SVD wieder treffen.

Weil ich den Ansatz gerne $ad\ hoc$ also am Problem entlang motivieren und einführen will, vorweg schon mal die bevorstehenden Schritte

- 1. Zentrierung/Skalierung der Daten
- 2. Berechnung der Varianzen im Standard Koordinatensystem
- 3. Überlegung, dass Daten in einem anderen Koordinatensystem eventuell besser dargestellt werden im Sinne
- 4. Berechnung eines optimalen Koordinatenvektors mittels SVD.

Wir nehmen noch einmal die Covid-Daten her, vergessen kurz, dass es sich um eine Zeitreihe handelt und betrachten sie als Datenpunkte $(x_i,y_i),\,i=1,\ldots,N,$ im zweidimensionalen Raum mit Koordinaten x und y.

Als erstes werden die Daten **zentriert** indem in jeder Komponente der Mittelwert

$$x_c = \frac{1}{N} \sum_{i=1}^{N} x_i, \quad y_c = \frac{1}{N} \sum_{i=1}^{N} y_i.$$

abgezogen wird und dann noch mit dem inversen des Mittelwerts skaliert.

Also, die Daten werden durch $(\frac{x_i-\bar{x}}{\bar{x}},\,\frac{y_i-\bar{y}}{\bar{y}})$ ersetzt.

4.1 Variationskoeffizienten

Als nächstes kann Jan sich fragen, wie gut die Daten durch ihren Mittelwert beschrieben werden und die Varianzen berechnen, die für zentrierte Daten so



Figure 4.1: Fallzahlen von Sars-CoV-2 in Bayern im Oktober 2020 – zentriert

aussehen

$$s_x^2 = \frac{1}{N-1} \sum_{i=1}^N x_i^2, \quad s_y^2 = \frac{1}{N-1} \sum_{i=1}^N y_i^2.$$

Im gegebenen Fall bekommen wir

$$s_x^2 \approx 0.32$$
 $s_y^2 \approx 0.57$

und schließen daraus, dass in y Richtung viel passiert und in x Richtung nicht ganz so viel. Das ist jeder Hinsicht nicht befriedigend, wir können weder

- Redundanzen ausmachen (eine Dimension der Daten vielleicht weniger wichtig?) noch
- dominierende Richtungen feststellen (obwohl dem Bild nach so eine offenbar existiert)

und müssen konstatieren, dass die Repräsentation der Daten im (x,y) Koordinatensystem nicht optimal ist.

Die Frage ist also, ob es ein Koordinatensystem gibt, dass die Daten besser darstellt.

Ein Koordinatensystem ist nichts anderes als eine Basis. Und die Koordinaten eines Datenpunktes sind die Komponenten des entsprechenden Vektors in dieser Basis. Typischerweise sind Koordinatensysteme orthogonal (das heißt eine Orthogonalbasis) und häufig noch orientiert (die Basisvektoren haben eine bestimmte Reihenfolge und eine bestimmte Richtung).

4.2 Koordinatenwechsel

Sei nun also $\{b_1,b_2\}\subset\mathbb{R}^2$ eine orthogonale Basis.

Wie allgemein gebräuchlich, sagen wir *orthogonal*, meinen aber *orthonormal*. In jedem Falle soll gelten

$$b_1^T b_1 = 1, \quad b_2^T b_2 = 1, \quad b_1^T b_2 = b_2^T b_1 = 0.$$

Wir können also alle Datenpunkte $\mathbf{x}_i = \begin{bmatrix} x_i \\ y_i \end{bmatrix}$ in der neuen Basis darstellen mit eindeutig bestimmten Koeffizienten α_{i1} und α_{i2} mittels

$$\mathbf{x}_i = \alpha_{i1}b_1 + \alpha_{i2}b_2.$$

Für orthogonale Basen sind die Koeffizienten durch *testen* mit dem Basisvektor einfach zu berechnen:

$$\begin{split} b_1^T \mathbf{x}_i &= b_1^T (\alpha_{i1} b_1 + \alpha_{i2} b_2) = \alpha_{i1} b_1^T b_1 + \alpha_{i2} b_1^T b_2 = \alpha_{i1} \cdot 1 + \alpha_{i2} \cdot 0 = \alpha_{i1}, \\ b_2^T \mathbf{x}_i &= b_2^T (\alpha_{i1} b_1 + \alpha_{i2} b_2) = \alpha_{i1} b_1^T b_2 + \alpha_{i2} b_2^T b_2 = \alpha_{i1} \cdot 0 + \alpha_{i2} \cdot 0 = \alpha_{i2}. \end{split}$$

Es gilt also

$$\alpha_{i1} = b_1^T \mathbf{x} = b_1^T \begin{bmatrix} x_i \\ y_i \end{bmatrix}, \quad \alpha_{i2} = b_2^T \mathbf{x} = b_2^T \begin{bmatrix} x_i \\ y_i \end{bmatrix}.$$

Damit, können wir jeden Datenpunkt $\mathbf{x}_i=(x_i,y_i)$ in den neuen Koordinaten $(\alpha_{i1},\alpha_{i2})$ ausdrücken.

Zunächst halten wir fest, dass auch in den neuen Koordinaten die Daten zentriert sind. Es gilt nämlich, dass

$$\frac{1}{N}\sum_{i=1}^{N}\alpha_{ji} = \frac{1}{N}\sum_{i=1}^{N}b_{j}^{T}\mathbf{x}_{i} = \frac{1}{N}b_{j}^{T}\sum_{i=1}^{N}\begin{bmatrix}x_{i}\\y_{i}\end{bmatrix} = \frac{1}{N}b_{j}^{T}\begin{bmatrix}\sum_{i=1}^{N}x_{i}\\\sum_{i=1}^{N}y_{i}\end{bmatrix} = b_{j}^{T}\begin{bmatrix}\frac{1}{N}\sum_{i=1}^{N}x_{i}\\\frac{1}{N}\sum_{i=1}^{N}y_{i}\end{bmatrix} = b_{j}^{T}\begin{bmatrix}0\\0\end{bmatrix} = 0,$$

für j = 1, 2.

Desweiteren gilt wegen der Orthogonalität von $B = [b_1 \ b_2] \in \mathbb{R}^{2 \times 2}$, dass

$$x_i^2 + y_i^2 = \|\mathbf{x}_i\|^2 = \|B^T\mathbf{x}_i\|^2 = \|\begin{bmatrix}b_1^T\\b_2^T\end{bmatrix}\mathbf{x}_i\|^2 = \|\begin{bmatrix}b_1^T\mathbf{x}\\b_2^T\mathbf{x}\end{bmatrix}\|^2 = \|\begin{bmatrix}\alpha_{i1}\\\alpha_{i2}\end{bmatrix}\|^2 = \alpha_{i1}^2 + \alpha_{i2}^2$$

woraus wir folgern, dass in jedem orthogonalen Koordinatensystem, die Summe der beiden Varianzen die gleiche ist:

$$s_x^2 + s_y^2 = \frac{1}{N-1} \sum_{i=1}^N (x_i^2 + y_i^2) = \frac{1}{N-1} \sum_{i=1}^N (\alpha_{i1}^2 + \alpha_{i2}^2) =: s_1^2 + s_2^2.$$

Das bedeutet, dass durch die Wahl des Koordinatensystems die Varianz als Summe nicht verändert wird. Allerdings können wir das System so wählen, dass eine der Varianzen in Achsenrichtung maximal wird (und die übrige(n) entsprechend klein).

Analog gilt für den eigentlichen Mittelwert der (nichtzentrierten) Daten, dass die Norm gleich bleibt. In der Tat, für die *neuen* Koordinaten des Mittelwerts gilt in der Norm

 $\| \begin{bmatrix} \alpha_{c1} \\ \alpha_{c2} \end{bmatrix} \| = \| B^T \begin{bmatrix} x_c \\ y_c \end{bmatrix} \| = \| \begin{bmatrix} x_c \\ y_c \end{bmatrix} \|.$

4.3 Maximierung der Varianz in (Haupt)-Achsenrichtung

Wir wollen nun also $b_1 \in \mathbb{R}^2$, mit $||b_1|| = 1$ so wählen, dass

$$s_1^2 = \frac{1}{N-1} \sum_{i=1}^n \alpha_{i1}^2$$

maximal wird. Mit der Matrix \mathbf{X} aller Daten

$$\mathbf{X} = \begin{bmatrix} x_1 & y_1 \\ x_2 & y_2 \\ \vdots & \vdots \\ x_N & x_N \end{bmatrix} = \begin{bmatrix} \mathbf{x}_1^T \\ \mathbf{x}_2^T \\ \vdots \\ \mathbf{x}_N^T \end{bmatrix} \in \mathbb{R}^{N \times 2}$$

können wir die Varianz in b_1 -Richtung kompakt schreiben als

$$s_1^2 = \frac{1}{N-1} \sum_{i=1}^n \alpha_{i1}^2 = \frac{1}{N-1} \sum_{i=1}^n (b_1^T \mathbf{x}_i)^2 = \frac{1}{N-1} \sum_{i=1}^n (\mathbf{x}_i^T b_1)^2 = \frac{1}{N-1} \|\mathbf{X} b_1\|^2$$

Wir sind also ein weiteres mal bei einem Optimierungsproblem (diesmal mit Nebenbedingung) angelangt:

$$\max_{b \in \mathbb{R}^2, \, \|b\| = 1} \|\mathbf{X}b\|^2$$

Die Lösung dieses Problems ist mit $b=v_1$ gegeben, wobei v_1 der erste (rechte) Singulärvektor von $\mathbf X$ ist:

$$\mathbf{X} = U \Sigma V^T = U \Sigma \begin{bmatrix} v_1^T \\ v_2^T \end{bmatrix}.$$

Und damit rechnen wir auch direkt nach, dass im neuen Koordinatensystem $\{b_1,b_2\}=\{v_1,v_2\}$ die Varianzen s_1^2 und s_2^2 (bis auf einen Faktor von $\frac{1}{N-1}$) genau die quadrierten Singulärwerte von $\mathbf X$ sind:

$$\begin{split} &(N-1)s_1^2 = \|\mathbf{X}v_1\|^2 = \|U\Sigma \begin{bmatrix} v_1^T \\ v_2^T \end{bmatrix} v_1\|^2 = \|\Sigma \begin{bmatrix} v_1^T v_1 \\ v_2^T v_1 \end{bmatrix} \|^2 = \|\Sigma \begin{bmatrix} 1 \\ 0 \end{bmatrix} \|^2 = \sigma_1^2, \\ &(N-1)s_2^2 = \|\mathbf{X}v_2\|^2 = \|U\Sigma \begin{bmatrix} v_1^T \\ v_2^T \end{bmatrix} v_2\|^2 = \|\Sigma \begin{bmatrix} v_1^T v_2 \\ v_2^T v_2 \end{bmatrix} \|^2 = \|\Sigma \begin{bmatrix} 0 \\ 1 \end{bmatrix} \|^2 = \sigma_2^2. \end{split}$$

4.3. MAXIMIERUNG DER VARIANZ IN (HAUPT)-ACHSENRICHTUNG35

Für unser Covid Beispiel ergibt sich

$$V^T \approx \begin{bmatrix} 0.5848 & 0.8111 \\ 0.8111 & -0.5848 \end{bmatrix}$$

also

$$b_1 = v_1 = \begin{bmatrix} 0.5848 \\ 0.8111 \end{bmatrix} \quad b_2 = v_2 = \begin{bmatrix} 0.8111 \\ -0.5848 \end{bmatrix}$$

als neue Koordinatenrichtungen mit

$$s_1^2 \approx 0.85, \quad s_2^2 \approx 0.04,$$

was bereits eine deutliche Dominanz der $v_1\text{-Richtung}$ – genannt $\mathit{Hauptachse}$ zeigt.

Im Hinblick auf die nächste Vorlesung, in der wir Anwendungen und Eigenschaften der PCA untersuchen werden, noch ein Plot der Daten mit der v_1 -Richtung als Linie eingezeichnet.

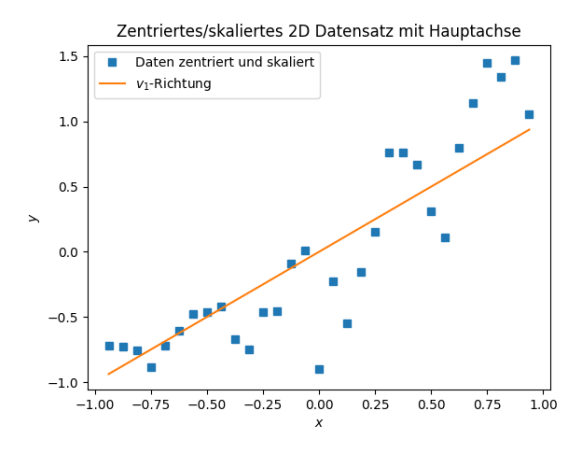


Figure 4.2: Fallzahlen von Sars-CoV-2 in Bayern im Oktober 2020 – zentriert/skaliert/Hauptachse